

DICNE  
\$ 500

3 AGO. 1981

## FECHA DE DEVOLUCION

El último sello marca la fecha tope para ser devuelto este libro.

Vencido el plazo, el lector pagará 5.00 peso por cada día que pase.

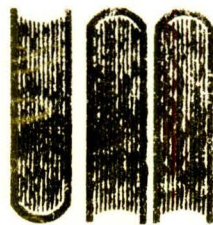
(11-013)

5 MAR 1982
8 MAR 1982
16 MAR 1982
19 MAR 1982
22 ABR. 1982
30 ABR. 1982
12 MAYO 1982

J. O. B.  
J. O. B.

# UNIVERSIDAD DE MONTERREY

DIVISION DE CIENCIAS NATURALES Y EXACTAS



UNIVERSIDAD  
DE MONTERREY

Clasif.  
040.54  
R 696d  
1981  
c.1

## LICENCIATURA EN QUIMICA CON ESPECIALIDAD EN QUIMICA INDUSTRIAL

*Título:*

DETERMINACION DE LA VARIACION DE  
CONCENTRACION DE GLUCOSA,  
FRUCTOSA Y SACAROSA  
EN FRUTAS

SEMINARIO DE EVALUACION FINAL

*Author:* LAURA GERARDINA RODRIGUEZ SERVIN

MONTERREY, N. L. *folio* 801312 MAYO DE 1981

UNIVERSIDAD DE MONTERREY

DETERMINACION DE LA VARIACION DE LA  
CONCENTRACION DE GLUCOSA, FRUCTOSA Y SACAROSA  
EN FRUTAS.

MONTERREY, N.L.

MAYO DE 1981.

A MIS PADRES CON  
TODO MI CARIÑO

## INDICE

	página
Introducción .....	1
Materiales y Métodos .....	3
Curva de Calibración .....	8
Corrección Matemática .....	11
Tabulación de Resultados .....	19
Discusión .....	28
Conclusión .....	29
Resumen .....	30
Bibliografía .....	31

## INTRODUCCION

El objeto del presente trabajo, es ver la variación que experimentan los azúcares durante la maduración de algunos frutos.

Estas variaciones están relacionadas posiblemente, con el cambio de acidez, el cual se ve afectado por el proceso de la maduración.

Se han escogido en el presente trabajo, 2 frutas de la estación, y verificado previamente, una confirmación de el método espectrofotométrico para determinación de azúcares, a fin de ajustar las curvas de calibración a las

condiciones de nuestro problema.

Durante el tiempo necesario para efectuar la determinación de los azúcares, la fruta puede presentar una aceleración en el tiempo de maduración debido a la presencia de bacterias del medio ambiente, variaciones de temperatura, etc., y llegar así, más rápidamente a la putrefacción, por lo cual se tomaron las precauciones adecuadas para evitarlo.

## MATERIALES Y METODOS

Los frutos se escogieron tomando en cuenta aquellos que presentan su estado de maduración dentro de la época de el año en que se efectuó este trabajo, siendo la papaya y el melón los frutos empleados en la determinación de azúcares.

Los azúcares que se determinaron fueron: glucosa, sacarosa y fructosa.

Para la glucosa se utilizó el método de Munson y Walker que es la modificación de Soxhlet al método de Fehling, para la sacarosa y la fructosa, se utilizaron los métodos

dos dasados en la reacción con resorcinol en presencia-  
de ácido clorhídrico, con y sin hidrólisis previa res -  
pectivamente, de acuerdo con el trabajo de la Srita.--

Melba Alicia Guerra Arenas.

Este método se basa en la reacción del resolcinol con -  
la fructosa. Si se toma directamente el problema, el mé  
todo nos dá solamente la fructosa libre, si se somete -  
el producto a una hidrólisis, la determinación nos dará  
la fructosa libre más la que se originó en la hidrólisis  
partiendo la sacarosa. Restando la fructosa libre de --  
la total se puede sacar la cantidad de sacarosa que ya  
existía.

El trabajo se organizó principiando por obtener la curva  
de calibración para la fructosa, utilizando un espectro  
fotómetro Coleman Junior II-26. La curva de calibración  
correspondiente se efectuó utilizando una solución están  
dar de fructosa al 1%, de la cual se tomaban alícuotas -  
para luego agregar 2ml. de ácido clorhídrico más 2ml. -  
de resorcinol.

El tamaño de las alícuotas fué de 0.5 a 3.5 ml de la so  
lución estándar, lo cual se determinó mediante un estu  
dio previo, obteniéndose así un amplio rango de %T para  
estos valores.

Se hizo un estudio previo de las influencias que pudieran tener las cantidades de resorcinol y HCL, adoptando las anteriormente citadas como óptimas en el desarrollo de la coloración. El producto tratado se calienta por espacio de 15 minutos, este tiempo también fué objeto de una serie de ensayos para fijar el tiempo óptimo.

Una vez calentado durante este tiempo en baño de agua a 96°C, se saca y se enfriá durante 5 minutos al chorro de agua, posteriormente se afora a 100 ml y se deja reposar durante 10 minutos. Igualmente para determinar la influencia del período de reposo sobre el método, se efectuó un estudio previo.

Las soluciones así obtenidas se llevan directamente al espectrofotómetro a una longitud de onda óptima de -- 480 nm la cual se obtuvo previa verificación de la longitud de onda obtenida por la Srita. Melba Alicia Gue - rra Arenas.

En esta forma se obtuvo una curva de calibración para - valores comprendidos entre 51.6 y 88.0 % de transmitancia.

Para la determinación de sacarosa se utilizó un están - dar al 20%, comenzando con una hidrólisis de la muestra que se inicia al agregar 2 ml de HCL al 25% y calentan-

tando en baño de agua a 96°C durante 10 minutos.

Efectuando un estudio previo para determinar la cantidad de sacarosa adecuada y obtener un amplio rango de % T se observó que era de un mínimo de 0.1 ml y un máximo de -- 2 ml de la solución estándar.

Después de la hidrólisis se le agregaron 2 ml de resorcinol al 1% y se volvió a calentar en baño de agua durante 5 minutos para que desarrolle todo el color, y a partir de aquí se sigue la misma técnica que para la fructosa. Obteniéndose una curva de calibración que va desde 12.0 hasta 68.8 % de transmitancia.

Para la determinación de glucosa se utilizó el método - Munson y Walker, dado por la modificación en la concentración de los reactivos utilizados en el método de Fehling.

Cada fruta fué seguida en su período de maduración con intervalos de 48 horas entre cada determinación.

En cada caso se cortaba un trozo de aproximadamente 100g para el caso de la papaya y de 120g para el caso del melón, pesados exactamente, la diferencia se basa en un -- ajuste de concentraciones de glucosa para poder utilizar

el método, el trozo se picaba, se pesaba, se licuaba -- con 100 ml de agua destilada y se pasaba a un matraz de - aforación de 500 ml y se aforaba a dicha cantidad con -- agua destilada. De esta suspensión se tomaban alícuotas para efectuar la determinación de azúcares totales.

En cada determinación se tomaban 12 muestras para cada-azúcar a fin de obtener un promedio razonable, ya que - el producto es bastante heterogéneo.

Los resultados se anotan en las tablas correspondientes.

### Curva de Calibración.

Los resultados para las curvas de calibración de la sacarosa y de la fructosa se encuentran en las tablas 1 y 2 respectivamente.

Antes de graficar se procedió a la corrección matemática de los valores obtenidos para cada una de las curvas, siendo cada valor el resultado del promedio de 10 lecturas de cada estándar, tanto para la sacarosa como para la fructosa como se indica en las tablas 1 y 2.

Tabla 1: Tabulación de resultados para la curva de calibración de la sacarosa.

	3ml	4ml	5ml	6ml	7ml	8ml	9ml	10ml
% Transmisionancia	0.006g	0.008g	0.010g	0.012g	0.014g	0.016g	0.018g	0.020g
	24	29	40	49	55	65	75	82
	25	30	40	49.5	57	65	75	79
	27	30	40	48	59	68	74	80.5
	24	29	38	53	59	64	75	81
	25	24	40	52	59	69	75	80
	26	33	43	53	61	65	76	83
	24.5	34	40	49	59	66	76	84
	25	33	42	50	58.5	63	78	84
	26	32	40	50	56	64	76	83
	27.5	31	41	52	57.5	64	72	82
Prom	25.40	34.80	43.40	50.55	58.10	65.30	75.20	81.85
A	0.5951663	0.4584420	0.3625103	0.2962788	0.2358239	0.1850868	0.123782	0.0869813

Tabla 2: Tabulación de resultados para la curva de calibración de la fructosa.

	0.5ml	1.0ml	1.5ml	2.0ml	2.5ml	3.0ml	3.5ml
% Transmisioncia	0.005g	0.010g	0.015g	0.020g	0.025g	0.030g	0.035g
	88.0	76.0	69.0	68.5	64.5	59.0	51.5
	88.0	76.0	69.0	68.2	64.5	59.2	51.8
	88.0	76.0	68.6	68.2	65.0	59.0	51.6
	87.8	76.0	69.2	68.8	65.0	59.0	51.6
	88.0	76.0	69.0	68.8	65.0	58.8	51.6
	88.0	75.6	68.8	68.5	64.5	59.0	51.8
	88.2	76.0	68.8	68.5	64.0	59.0	52.0
	88.2	76.2	69.2	68.0	64.0	59.2	51.8
	88.0	76.2	69.4	68.0	64.5	59.2	51.8
	87.8	76.0	69.0	68.0	64.0	59.6	51.0
Prom.	88.00	76.00	69.00	68.35	64.50	59.10	51.65
A	0.0555173	0.1191864	0.1611509	0.1652615	0.1904403	0.2284125	0.2869297

### Correción Matemática.

Utilizando los resultados anteriores se prosiguió a calcular el coeficiente de correlación  $r$  para ambas curvas, dándonos así una idea acerca de qué tan relacionadas están dos variables, en este caso, la concentración y la absorbancia.

El valor de  $r$  varía desde  $-1$  hasta  $1$ , y cuanto más cerca se encuentre de los extremos, mayor será la relación existente entre las variables estudiadas, además nos

indica qué relación sigue y si es directa o inversamente proporcional dependiendo de si el valor de r es positivo o negativo.

Una vez obtenida la ecuación, los datos se ajustan mediante el método de mínimos cuadrados.

Coeficiente de Correlación r.

$$r = \frac{SP_{xy}}{SC_x SC_y}$$

donde:  $SC_x = \sum x^2 - \bar{x} \sum x$

$$SC_y = \sum y^2 - \bar{y} \sum y$$

$$SP_{xy} = \sum xy - \bar{x} \sum y$$

Así para: x = gramos de fructosa

y = absorvancia

x	y	$x^2$	$y^2$	xy
0.005	0.0555173	$2.500 \times 10^{-5}$	$3.082174 \times 10^{-3}$	$2.775867 \times 10^{-4}$
0.010	0.1191864	$1.000 \times 10^{-4}$	$1.420540 \times 10^{-2}$	$1.191864 \times 10^{-3}$
0.015	0.1611509	$2.250 \times 10^{-4}$	$2.596961 \times 10^{-2}$	$2.417264 \times 10^{-3}$
0.020	0.1652615	$4.000 \times 10^{-4}$	$2.731136 \times 10^{-2}$	$3.305230 \times 10^{-3}$
0.025	0.1964403	$6.250 \times 10^{-4}$	$3.626751 \times 10^{-2}$	$4.761008 \times 10^{-3}$
0.030	0.2284125	$9.000 \times 10^{-4}$	$5.217227 \times 10^{-2}$	$6.852375 \times 10^{-3}$
<u>0.035</u>	<u>0.2869297</u>	<u><math>1.225 \times 10^{-3}</math></u>	<u><math>8.232865 \times 10^{-2}</math></u>	<u><math>1.004254 \times 10^{-2}</math></u>
0.140	0.2068986	$3.500 \times 10^{-3}$	$0.24133697900$	$2.884787 \times 10^{-2}$

$$\bar{x} = 0.020$$

$$\bar{y} = 0.17241409$$

$$SC_x = 3.5 \times 10^{-3} - 0.020(0.140) = 7.0 \times 10^{-4}$$

$$SC_y = 0.241336979 - 0.17241409(1.20689863) = 3.325065 \times 10^{-2}$$

$$SP_{xy} = 2.884787 \times 10^{-2} - 0.020(1.20689863) = 4.709897 \times 10^{-3}$$

$$r = \frac{4.709897 \times 10^{-3}}{\sqrt{(7.0 \times 10^{-4})(3.325065 \times 10^{-2})}} = 0.97625290$$

El valor obtenido de  $r$  nos indica que se tiene una buena correlación entre las variables y que se sigue una ecuación lineal directamente proporcional.

Para determinar la ecuación de la recta se tiene:

$$y_{\text{estimada}} = b_0 + bx$$

donde:

$$b = \frac{SP_{xy}}{SC_x} = \frac{4.709897 \times 10^{-3}}{3.325065 \times 10^{-2}} = 6.728424$$

Por lo tanto la ecuación de la recta será:

$$y_{\text{est}} = 3.784560 \times 10^{-2} + 6.728424x$$

Haciendo uso de esta ecuación se obtienen los valores corregidos para  $y$ .

$$y_{est} = 3.784560 \times 10^{-2} + 6.728424x$$

$$y_{est} = 3.784560 \times 10^{-2} + 6.728424(0.005) = 7.148772 \times 10^{-2}$$

$$y_{est} = 3.784560 \times 10^{-2} + 6.728424(0.010) = 1.051298 \times 10^{-1}$$

$$y_{est} = 3.784560 \times 10^{-2} + 6.728424(0.015) = 1.387720 \times 10^{-1}$$

$$y_{est} = 3.784560 \times 10^{-2} + 6.728424(0.020) = 1.724141 \times 10^{-1}$$

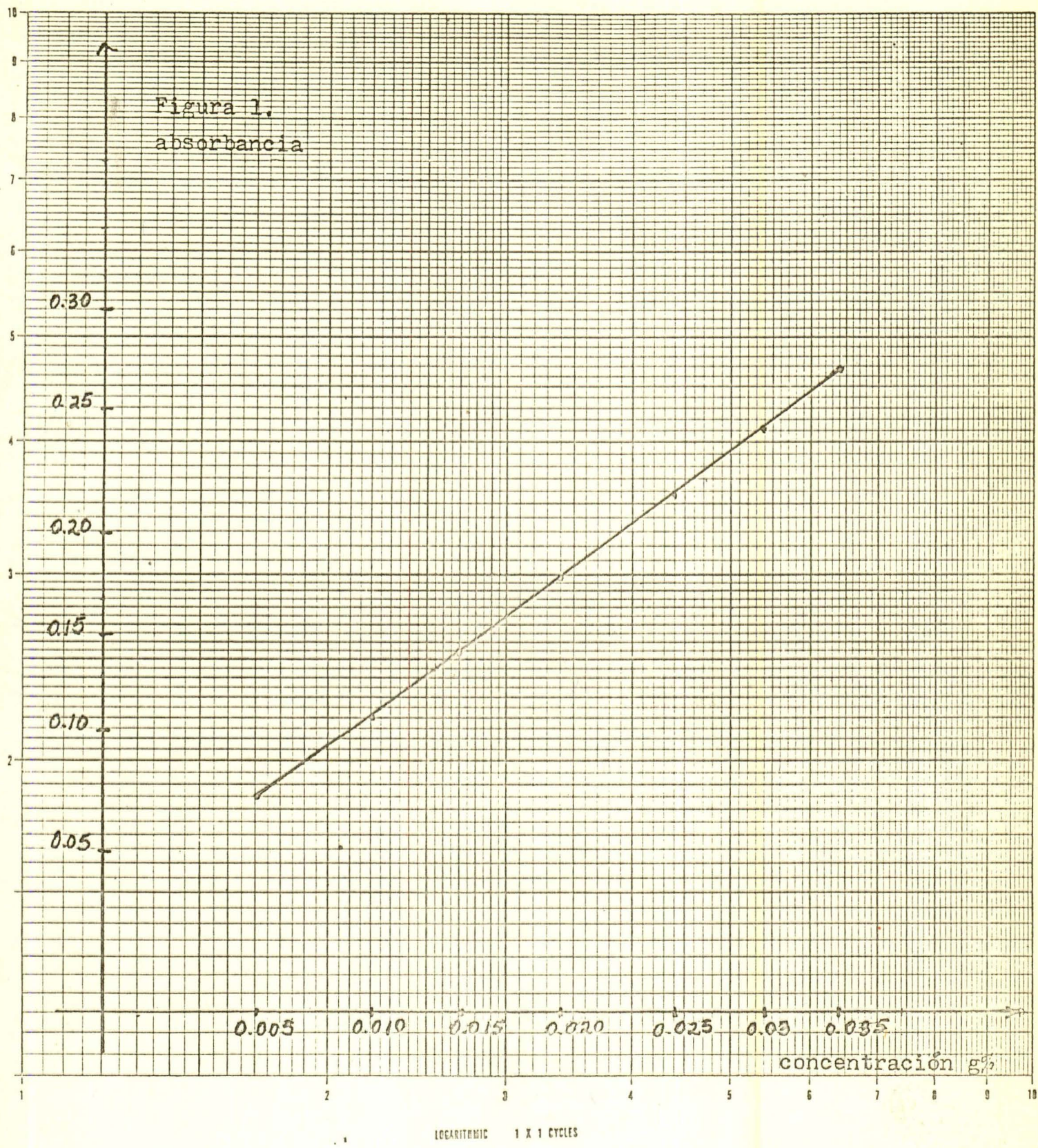
$$y_{est} = 3.784560 \times 10^{-2} + 6.728424(0.025) = 2.060562 \times 10^{-1}$$

$$y_{est} = 3.784560 \times 10^{-2} + 6.728424(0.030) = 2.396983 \times 10^{-1}$$

$$y_{est} = 3.784560 \times 10^{-2} + 6.728424(0.035) = 2.733404 \times 10^{-1}$$

La curva de calibración para la fructosa con los datos corregidos anteriormente se muestran en la figura 1.

Figura 1.  
absorbancia



LOGARITHMIC 1 X 1 CYCLES

Utilizando los valores obtenidos para la curva de calibración de la sacarosa se tiene:

$x$  = gramos de sacarosa

$y$  = absorbancia

0.006	0.59516	$3.60 \times 10^{-5}$	$3.54222 \times 10^{-1}$	$3.57099 \times 10^{-3}$
0.008	0.45844	$6.40 \times 10^{-5}$	$2.10149 \times 10^{-1}$	$3.66753 \times 10^{-3}$
0.010	0.36251	$1.00 \times 10^{-4}$	$1.31413 \times 10^{-1}$	$3.62510 \times 10^{-3}$
0.012	0.29627	$1.44 \times 10^{-4}$	$8.77811 \times 10^{-2}$	$3.55534 \times 10^{-3}$
0.014	0.23582	$1.96 \times 10^{-4}$	$5.56129 \times 10^{-2}$	$3.30153 \times 10^{-3}$
0.016	0.18508	$2.56 \times 10^{-4}$	$3.42571 \times 10^{-2}$	$2.96138 \times 10^{-3}$
0.018	0.12378	$3.24 \times 10^{-4}$	$1.53220 \times 10^{-2}$	$2.22808 \times 10^{-3}$
<u>0.020</u>	<u>0.08698</u>	<u><math>4.00 \times 10^{-4}</math></u>	<u><math>7.56574 \times 10^{-3}</math></u>	<u><math>1.73962 \times 10^{-3}</math></u>
0.104	2.34407	$1.52 \times 10^{-3}$	$8.96344 \times 10^{-1}$	$2.46496 \times 10^{-2}$

$$\bar{x} = 0.0130$$

$$\bar{y} = 0.2930090$$

$$SC_x = 1.52 \times 10^{-3} - 0.013(0.104) = 1.68 \times 10^{-4}$$

$$SC_y = 8.963447 \times 10^{-1} - 0.293009(2.344072) = 2.095105 \times 10^{-1}$$

$$SP_{xy} = 2.464961 \times 10^{-2} - 0.013(2.344072) = -5.823326 \times 10^{-3}$$

$$r = \frac{-5.823326 \times 10^{-3}}{(1.68 \times 10^{-4})(2.095105 \times 10^{-1})} = -0.9815526$$

$$b = \frac{SP_{xy}}{SC_x} = \frac{-5.823326 \times 10^{-3}}{1.68 \times 10^{-4}} = -34.66265$$

$$b_0 = \bar{y} - b\bar{x} = 0.2930090 - (-34.66265)(0.0130) = 0.7436235$$

Por lo tanto la ecuación de la recta será:

$$y_{\text{estimada}} = 0.7436235 - 34.66265x$$

Haciendo uso de la ecuación se tienen los siguientes valores corregidos para y.

$$y_{\text{est}} = 0.7436235 - 34.66265(0.006) = 0.5356476$$

$$y_{\text{est}} = 0.7436235 - 34.66265(0.008) = 0.4663223$$

$$y_{\text{est}} = 0.7436235 - 34.66265(0.010) = 0.3969970$$

$$y_{\text{est}} = 0.7436235 - 34.66265(0.012) = 0.3276717$$

$$y_{\text{est}} = 0.7436235 - 34.66265(0.014) = 0.2583464$$

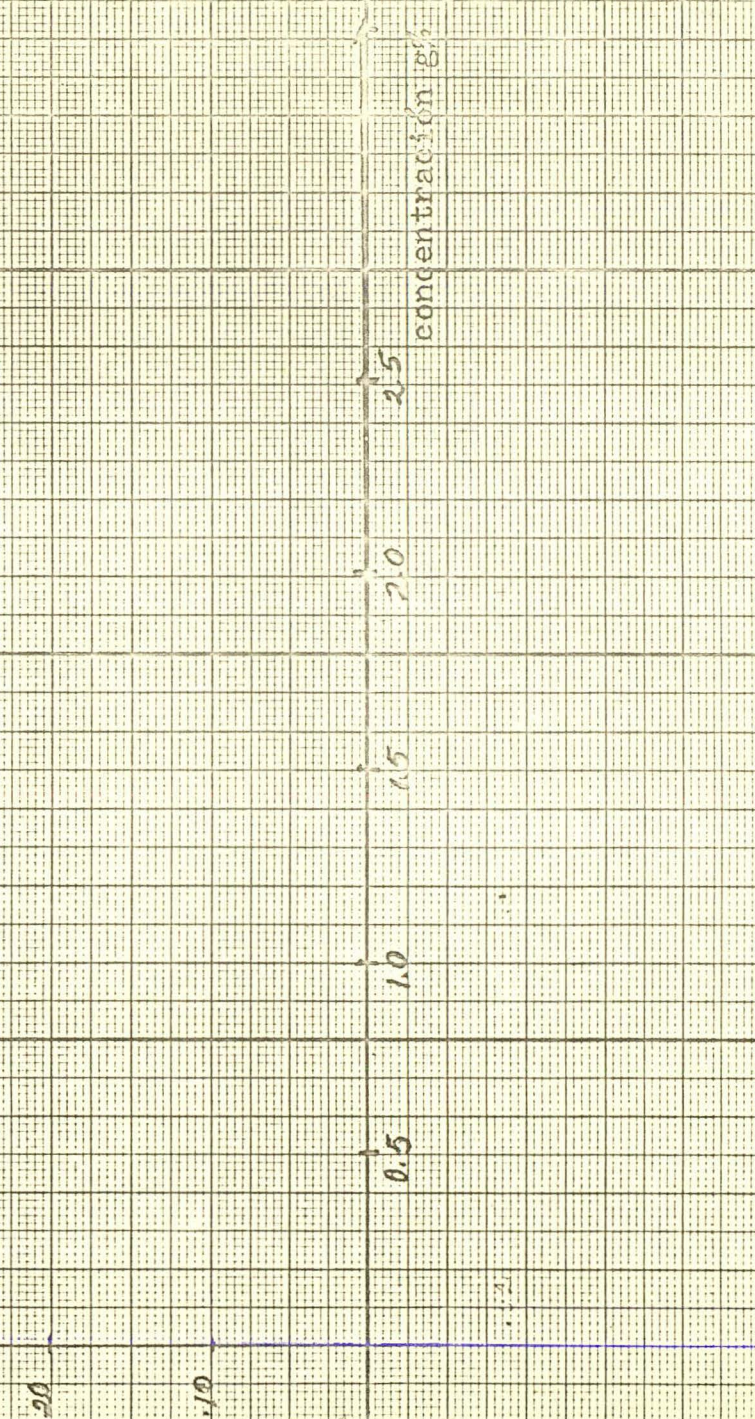
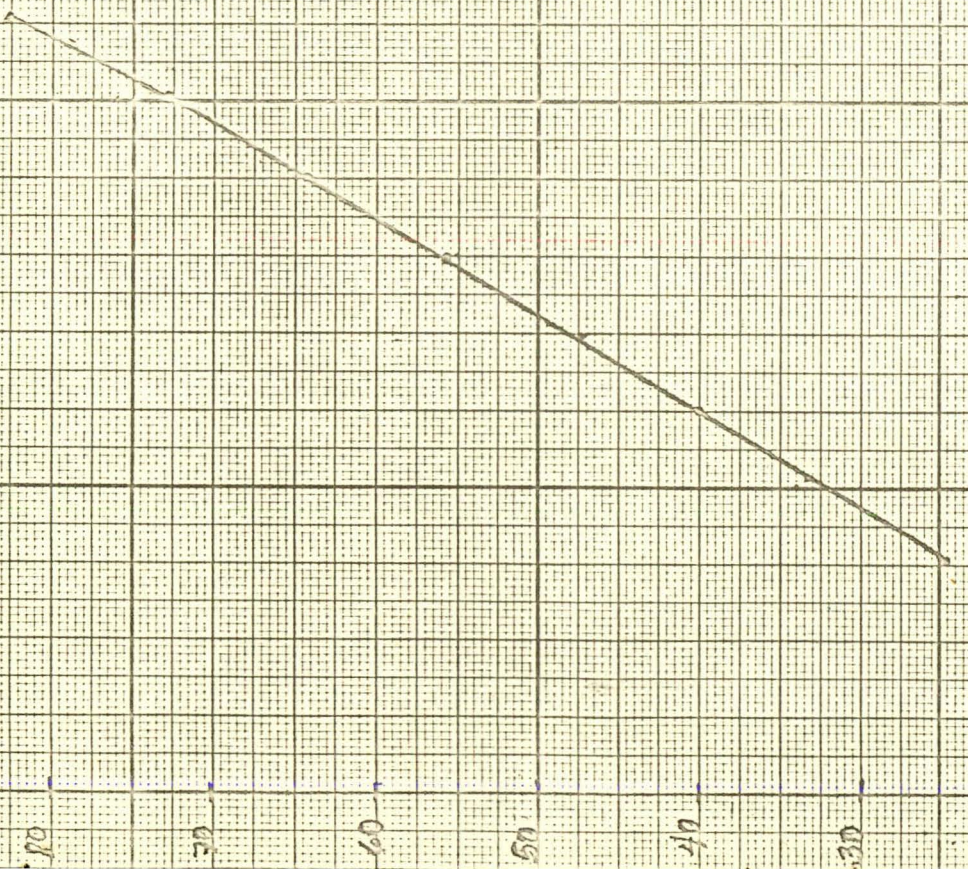
$$y_{\text{est}} = 0.7436235 - 34.66265(0.016) = 0.1890241$$

$$y_{\text{est}} = 0.7436235 - 34.66265(0.018) = 0.1196958$$

$$y_{\text{est}} = 0.7436235 - 34.66265(0.020) = 0.05037050$$

La curva de calibración para la sacarosa con los datos corregidos anteriormente se muestran en la figura 2.

Figura 2  
Gráfico de transmittancia



## TABULACION DE RESULTADOS

Los resultados del muestreo se encuentran en las siguientes páginas.

En las tablas de resultados para la sacarosa, al valor promedio que se reporta como fructosa total se le resta el valor promedio obtenido para la fructosa libre, determinando así el valor de la concentración de sacarosa.

Tabla #3 Tabulación de resultados para determinación de sacarosa en la papaya en g%.

tiempo 48 hrs. 168 hrs. 216 hrs. 264 hrs. 336 hrs.

% T	Conc.	% T	Conc.	% T	Conc.	% T	Conc.	% T	Conc.	% T	Conc.
90.0	2.180	87.0	2.120	83.5	2.050	81.8	1.990	80.2	1.965	75.5	1.865
87.5	2.130	87.2	2.125	83.5	2.050	80.2	1.965	80.1	1.962	78.2	1.925
88.0	2.140	88.2	2.145	84.0	2.060	84.0	2.060	80.0	1.960	78.0	1.920
88.0	2.140	86.2	2.105	83.5	2.05	83.0	2.020	80.0	1.960	77.5	1.905
88.0	2.140	87.0	2.120	83.5	2.050	82.0	2.000	80.0	1.960	79.0	1.940
87.0	2.120	87.3	2.122	84.0	2.060	82.0	2.000	80.0	1.960	78.8	1.935
87.5	2.130	87.2	2.125	83.5	2.050	82.0	2.000	80.5	1.970	79.5	1.950
90.0	2.180	88.0	2.140	83.0	2.012	85.0	2.080	80.1	1.962	79.0	1.940
90.0	2.180	87.2	2.125	83.2	2.030	81.8	1.990	79.4	1.950	79.5	1.950
88.0	2.140	86.0	2.100	83.0	2.020	82.0	2.000	80.0	1.960	78.6	1.939
88.0	2.140	87.2	2.125	83.5	2.050	81.0	1.980	80.0	1.960	78.0	1.920
88.0	2.140	87.2	2.125	83.5	2.050	81.0	1.980	80.1	1.962	78.6	1.939
$\bar{x}$	2.1467		2.1231		2.0450		2.0054		1.9609		1.9273
Sacarosa	2.1447		2.1191		2.0409		2.0004		1.9552		1.9271

Tabla #4 Tabulación de resultados para determinación de fructosa en la papaya en g%.

25

**Tabla #5:** Tabulación de resultados para determinación de glucosa en la papaya.

t		Concentración g%						$\bar{x}$
		papaya	7.4976	6.5121	6.2910	5.4871	6.2308	
1 4 8 hrs	glucosa	4.9620	5.7124	5.9132	6.7796	5.9704	4.9620	
	papaya	7.9392	6.3313	7.0347	7.9392	6.2308	7.8387	
1 4 8 hrs	glucosa	4.6856	5.8756	5.2881	4.6856	5.9704	4.7457	5.4626
	papaya	6.5641	7.3503	7.2717	7.5468	7.0555	5.6994	
1 4 8 hrs	glucosa	5.6671	5.0609	5.1157	4.9292	5.2724	6.5269	
	papaya	6.1711	6.8000	6.8393	5.6011	7.7433	6.6624	
1 4 8 hrs	glucosa	6.0280	5.4705	4.7811	6.6115	4.8040	5.5835	5.4900
	papaya	5.3107	7.4986	6.7826	4.2565	6.6632	6.3649	
1 4 8 hrs	glucosa	7.0046	4.9608	5.4846	8.7394	5.5828	5.8445	
	papaya	6.1859	6.8621	5.8477	6.2455	6.3649	6.2654	
1 4 8 hrs	glucosa	6.0136	5.4210	6.3613	5.9562	5.8445	5.9372	6.3458

t		Concentración g%						$\bar{x}$
2 1 6 hrs	papaya	4.4073	5.1117	5.5343	6.1783	7.0034	5.3934	
	glucosa	8.4404	7.2773	6.7216	6.0210	5.3116	6.8972	
	papaya	5.0916	3.1998	4.6287	5.8161	6.2186	4.0048	
	glucosa	7.3061	11.6255	8.0367	6.3960	5.9820	9.2887	7.4420
2 6 4 hrs	papaya	4.7471	4.6269	4.9173	4.5468	4.7271	5.1477	
	glucosa	7.8362	8.0398	7.5804	8.1814	7.8694	7.2264	
	papaya	4.9674	3.8357	4.4867	4.0460	4.2864	4.7070	
	glucosa	7.4887	9.6729	8.2910	9.1940	8.6785	7.9029	8.1634
3 3 6 hrs	papaya	1.4997	1.2598	2.7596	2.8395	2.3996	2.1196	
	glucosa	24.8000	29.5280	13.4801	13.1004	15.5022	17.5496	
	papaya	1.9597	1.8197	1.8197	2.1596	1.9597	2.0997	
	glucosa	18.9822	20.4424	20.4424	17.2246	18.9822	17.7168	17.2757

Tabla #6: Tabulación de resultados para determinación de sacarosa en el melón, en g%.

tiempo	48 hrs		120 hrs		168 hrs	
	% T	Conc.	% T	Conc.	% T	Conc.
	80.0	1.960	77.0	1.890	74.5	1.845
	79.0	1.940	76.0	1.870	75.0	1.860
	80.2	1.965	76.8	1.885	75.0	1.860
	80.1	1.962	76.0	1.870	75.0	1.860
	80.0	1.960	76.5	1.880	75.0	1.860
	80.0	1.960	76.5	1.880	75.0	1.860
	80.0	1.960	76.0	1.870	75.0	1.860
	79.5	1.950	76.0	1.870	74.5	1.845
	79.5	1.950	76.0	1.870	74.0	1.840
	80.0	1.960	76.8	1.885	75.0	1.860
	80.0	1.960	76.8	1.885	75.5	1.865
	80.2	1.965	77.2	1.895	75.0	1.860
$\bar{x}$		1.9577		1.8871		1.8563
Sacarosa		1.9521		1.8753		1.8478
						1.7420

Tabla #7: Tabulación de resultados para determinación de fructosa en el melón; en g%

tiempo	48 hrs		120 hrs		168 hrs	
	% T	Conc.	% T	Conc.	% T	Conc.
	84.0	0.0058	77.0	0.0113	79.5	0.0092
	84.0	0.0058	76.0	0.0125	79.0	0.0095
	83.5	0.0064	76.8	0.0115	79.5	0.0092
	83.5	0.0064	76.0	0.0125	79.5	0.0092
	86.5	0.0043	76.0	0.0125	82.5	0.0070
	86.0	0.0048	76.0	0.0125	82.5	0.0070
	86.0	0.0049	76.0	0.0125	82.0	0.0072
	84.0	0.0058	76.8	0.0115	79.0	0.0092
	86.2	0.0045	77.2	0.0110	82.0	0.0072
	83.5	0.0064	77.0	0.0113	79.5	0.0092
	84.0	0.0058	77.0	0.0113	79.5	0.0092
	84.0	0.0058	76.8	0.0115	79.5	0.0092
$\bar{x}$		0.0056		0.0118		0.0085
						0.0080

Tabla 8: Tabulación de resultados para determinación de glucosa en el melón.

t		c o n c e n t r a c i ó n g%						$\bar{x}$
4 8 h r s	melón	4.4081	4.9150	4.6285	4.8489	4.7387	4.6285	
	glucosa	8.4389	7.3685	8.0370	7.6717	7.8501	8.0370	
	melón	4.3199	4.7387	4.3199	4.9591	4.9591	4.7387	
	glucosa	8.6111	7.8501	8.6111	7.5012	7.5012	7.8501	7.3046
	melón	3.7884	3.7385	3.7884	3.8363	3.5007	3.4047	
	glucosa	9.8193	9.9504	9.8194	9.6966	10.6264	10.9257	
	melón	3.5486	3.8363	3.7385	3.7385	3.5966	3.8124	
	glucosa	10.4828	9.6966	9.9504	9.9504	10.3430	9.7576	9.2556

t		c o n c e n t r a c i ó n g%						$\bar{x}$
1 2 0 h r s	melón	4.3657	2.4707	3.6460	4.0298	3.7420	3.1183	
	glucosa	8.5209	15.0565	10.2027	9.2310	9.9411	11.9293	
	melón	4.4856	3.0703	3.2783	3.1663	3.1183	3.2622	
	glucosa	8.2931	12.1157	11.4875	11.7485	11.9293	11.4030	10.9882
1 6 8 h r s	melón	3.1355	2.7737	3.7385	2.6531	2.6048	2.9184	
	glucosa	11.8640	13.4115	9.9504	14.0211	14.2804	12.7465	
	melón	2.7737	3.7867	2.9908	4.0038	2.8943	2.8460	
	glucosa	13.4115	9.8237	12.4381	9.2911	12.8527	13.0705	12.2634

## DISCUSION

Como consecuencia de los datos anteriores, vemos que en la papaya, la sacarosa va disminuyendo a medida que transcurre el tiempo de maduración en forma bastante marcada, la fructosa aumenta lentamente y de pronto sufre una brusca disminución, mientras que la glucosa aumenta rápidamente y se dispara en el mismo punto en que empieza a disminuir la fructosa.

En el melón ocurren los mismos fenómenos, llevando casi una correlación paralela a los de la papaya.

## CONCLUSIONES

De todo lo anterior se desprende que aparentemente en las frutas estudiadas la maduración afecta el contenido de azúcar, el cual va creciendo a medida que la fruta madura, pero de los tres azúcares la glucosa es el único que aumenta en forma constante, mientras que la sacarosa va disminuyendo a medida que el fruto madura. La variación de fructosa consiste en un pequeño aumento en un principio, pero al llegar a un punto empieza también a disminuir, siendo esta disminución correlativa al aumento de glucosa.

## RESUMEN

Se estudiaron las variaciones de concentración de tres azúcares, durante la maduración de la papaya y el melón.

BIBLIOGRAFIA

- Pearson, David.  
Laboratory Techniques in Food Analysis.  
Butterworth & Co. (Publishers) Ltd. 1973.  
Londres, Inglaterra.
- Pomeramz, Yeshajahus , Clifton E. Meloan.  
Food Analysis: Theory & Practice  
AVI Publishing Company, Inc.  
Westport Connecticut, E.U.A. 1978.
- Frazier, W.C.  
Microbiología de los Alimentos  
Editorial Acribia.  
Zaragoza, España. 1972.
- Skoog, Douglas A , Donald M. West.  
Análisis Instrumental.  
Nueva Editorial Interamericana S.A. de C.V. 1975.  
México.
- Cox, H. E. ,Ph D., D.Sc and David Pearson, M.Sc.  
The Chemical Analysis of Foods.  
Chemical Publishing Co., Inc. 1962.  
New York, N. Y.

Official Methods of Analysis of the Association of  
Analytical Chemists.

William Horwitz, Editor

Peter Chichilo and Helen Reynolds, Associate Editors

11<sup>th</sup> Edition

1970.

Browne, C. A., Ph. D.

Sugar Analysis

John Wiley & Sons

New York, N. Y.

1972.

801312